

# 重铬酸铵和环四亚甲基四硝胺的热分解 ——Prout-Tompkins 效应研究

金韶华 薛 明 松全才

(北京理工大学化工材料学院, 北京 100081)

**摘要** 重铬酸铵 $[(\text{NH}_4)_2\text{Cr}_2\text{O}_7]$  和环四亚甲基四硝胺(HMX)受热分解时出现热进裂, 其差热分析(DTA)曲线呈陡峭形。这种热进裂使得分解动力学参量具有反常的数值, 该特性可能决定其某些特殊应用。

**关键词** 热分解 DTA  $(\text{NH}_4)_2\text{Cr}_2\text{O}_7$  HMX

## 1 前言

早在本世纪 40 年代, Prout 和 Tompkins<sup>[1]</sup>研究  $\text{NH}_4\text{MnO}_4$  热分解时就发现  $\text{NH}_4\text{MnO}_4$  受热后进裂, 热分解速率随时间变化明显加快, 甚至呈直线上升, 并认为这是典型的固相链锁反应的表现。其原因在于  $\text{NH}_4\text{MnO}_4$  晶体内富有大量晶体缺陷, 晶体本身又较脆, 后来的研究工作很少提及这种现象。在我们研究  $(\text{NH}_4)_2\text{Cr}_2\text{O}_7$  和 HMX 热分解过程中也发现有类似现象。这种现象可能和物质特性有联系。本实验用 DTA 技术较详尽地研究了  $(\text{NH}_4)_2\text{Cr}_2\text{O}_7$  和 HMX 的热分解。

## 2 实验部分

仪器: PCR-2 型差热分析仪。

样品:  $(\text{NH}_4)_2\text{Cr}_2\text{O}_7$ , 化学纯, 8~10mg; HMX, 工业品, 4~6mg。

实验条件: 铝开口样品池, 不锈钢密封样品池。

## 3 结果和讨论

$(\text{NH}_4)_2\text{Cr}_2\text{O}_7$  是全息摄影材料的主要成分, 它的热分解特性及规律变化引人注意<sup>[2]</sup>。利用差热分析技术研究该化合物热分解时, 发现在开口铝样品池中,  $(\text{NH}_4)_2\text{Cr}_2\text{O}_7$  受热强烈进裂, 飞散到样品池外, DTA 谱只出现仪器的基线, 如图 1 中曲线 1 所示; 使用密封式样品池<sup>[3]</sup>, 则抑制了  $(\text{NH}_4)_2\text{Cr}_2\text{O}_7$  的飞散, 这时样品分解的 DTA 曲线如图 1 中曲线 2 所示。由图看出, 当分解反应开始后, 分解速率(以  $\Delta T$  表示)急剧上升, 瞬间即达到 DTA 曲线的

顶端, DTA 曲线峰顶温度  $T_p$  和反应开始温度  $T_i$  的差值  $\Delta T$  只有  $0.5^\circ\text{C}$ , 表明了反应进行的快速程度。结合开口样品池内反应样品的迸裂、飞散和  $(\text{NH}_4)_2\text{Cr}_2\text{O}_7$  的 DTA 曲线的分析, 可认为它的热分解和  $\text{NH}_4\text{MnO}_4$  的热分解极其相似, 具有 Prout-Tompkins 效应特性。在工作中还研究了 UV 光和 Ar 离子激光照射(照射时间均为 5min)对  $(\text{NH}_4)_2\text{Cr}_2\text{O}_7$  的影响。

用 Kissinger 方程<sup>[4]</sup>处理了上述三种样品的 DTA 曲线数据, 计算了其热分解的动力学参数: 表观活化能( $E$ )和表观指前因子( $A$ ), 结果见表 1。

表 1  $(\text{NH}_4)_2\text{Cr}_2\text{O}_7$  的热分解动力学参数  $E$  和  $A$

Table 1 Kinetic parameter  $E$  and  $A$  of thermal decomposition of  $(\text{NH}_4)_2\text{Cr}_2\text{O}_7$

试 样	$E/\text{(kJ}\cdot\text{mol}^{-1})$	$\lg A/(s^{-1})$
未经光照的样品	$268.0 \pm 4.5$	26.8
UV 照射 5min 的样品	$235.2 \pm 4.5$	23.5
Ar 离子激光照射 5min 的样品	$251.2 \pm 4.2$	25.2

由表 1 结果可见, UV 照射对于  $(\text{NH}_4)_2\text{Cr}_2\text{O}_7$  热分解的  $E$  值影响较大, 和未经 UV 照射的样品相比, 经过 UV 照射的样品热分解的  $E$  值下降 12.2%。而经 Ar 离子激光照射后, 样品  $E$  值只下降 6.3%, 该值可认为处于  $E$  值的误差范围内。和其它铵盐对比,  $(\text{NH}_4)_2\text{Cr}_2\text{O}_7$  的  $E$  值较大, 是  $(\text{NH}_4)_2\text{CO}_3$  的 ( $E = 48.1\text{ kJ}\cdot\text{mol}^{-1}$ ) 5.6 倍, 是  $(\text{NH}_4\text{COO})_2$  ( $E = 43.7\text{ kJ}\cdot\text{mol}^{-1}$ )<sup>[5]</sup> 的 6.1 倍。但是该化合物的  $E$  值却和常见的含能材料的  $E$  值相近。例如环三亚甲基三硝胺(RDX)的  $E = 223.8\text{ kJ}\cdot\text{mol}^{-1}$ <sup>[6]</sup>, 季戊四醇四硝酸酯(PETN)的  $E = 161.3\text{ kJ}\cdot\text{mol}^{-1}$ <sup>[6]</sup>。

HMX 是一种重要的炸药, 广泛用作火、炸药配方的组分。关于 HMX 的热分解研究已有不少报道<sup>[7,8]</sup>, 但是用 DTA 技术研究其热分解的还不多。我们在研究中发现大结晶(边长约为 0.4mm 的正方形晶体)HMX 受热后也出现迸裂, 在 DTA 的差热偶盘处发现有 HMX

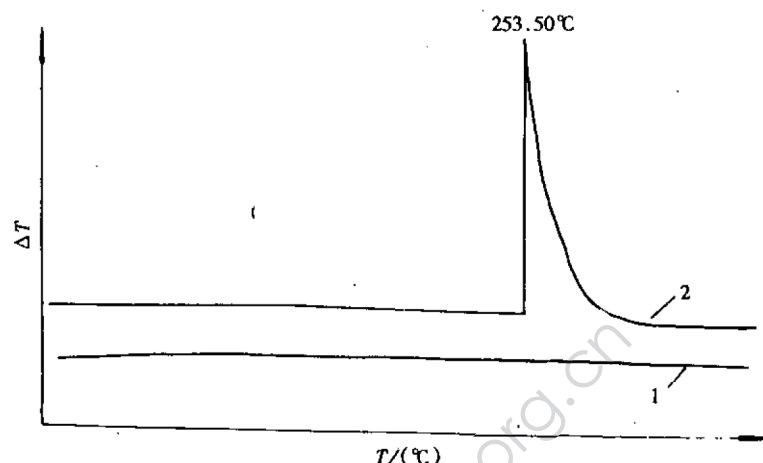


图 1  $(\text{NH}_4)_2\text{Cr}_2\text{O}_7$  的 DTA 曲线( $\beta = 10^\circ\text{C}/\text{min}$ )

1——在开口样品池中的热分解; 2——在密封样品池中的热分解。

Fig. 1 DTA curves of  $(\text{NH}_4)_2\text{Cr}_2\text{O}_7$  at heating rate of  $10^\circ\text{C}/\text{min}$

1——In open cell, 2——In sealed cell.

的晶粒。将 HMX 大晶体研细可以在一定程度上抑制 HMX 的受热飞散。当加热速率  $\beta$  为  $10^{\circ}\text{C}/\text{min}$  时, HMX 的 DTA 热分解曲线见图 2。

比较图 1 和图 2, 发现  $(\text{NH}_4)_2\text{Cr}_2\text{O}_7$  和 HMX 的 DTA 曲线外形很相似, 但  $(\text{NH}_4)_2\text{Cr}_2\text{O}_7$  加速阶段的 DTA 曲线更陡峭些, 这说明这两种样品确实有相类似的热分解特性。研究还发现, 加热速率对 HMX 的  $T_p$  值影响不大, 表 2 中列出了粗、细颗粒 HMX 在不同加热速率时的  $T_p$  值, 为便于对比, 同时列出了 RDX 的  $T_p$  值。

由表 2 可见, 当  $\beta$  由  $2.5^{\circ}\text{C}/\text{min}$  加大到  $25.6^{\circ}\text{C}/\text{min}$  时, 粗品 HMX 的  $T_p$  只增加了  $4.3^{\circ}\text{C}$ , 研细了的 HMX 的  $T_p$  值增加了  $11.6^{\circ}\text{C}$ ; 而同样  $\beta$  变化, RDX 的  $T_p$  值则增加了  $21.4^{\circ}\text{C}$ 。

表 2 加热速率  $\beta$  对 HMX 和 RDX 的  $T_p$  值的影响

Table 2 Influence of  $\beta$  on the values of  $T_p$  for HMX and RDX

$\beta$ ( $^{\circ}\text{C}/\text{min}$ )	HMX		RDX ℃
	粗晶体	细晶体	
2.5	276.8	276.1	220.1
6.4	279.7	280.9	227.1
13.7	280.6	284.2	234.4
25.6	281.1	287.7	241.5

当  $\beta$  值变化 10 倍, 而  $T_p$  值变化约为  $20 \sim 40^{\circ}\text{C}$  时, 用 Kissinger 方程<sup>[4]</sup>计算求出的  $E$  值才具有和等温动力学技术求出的  $E$  值具有相同的含义。利用表 2 中的  $T_p$  求出的 HMX 的  $E$  值及 HMX 和某些有机物机械混合物的  $E$  值(见表 3)远高于用等温技术求出的  $E$  值(等温技术得到 HMX 热分解的  $E = 220.5\text{ kJ/mol}$ )<sup>[6-8]</sup>。对于 HMX-TPM 来说, HMX(细)-TPM 混合物的  $E$  值是 HMX(粗)-TPM 的  $E$  值的 1.34 倍。

晶体尺寸影响晶体热分解速率的结果早为人知<sup>[9,10]</sup>。鉴于固体热分解反应只在晶体表面进行, 所以比表面小的粗晶体热分解速率慢, 而比表面大的细颗粒的晶体分解快<sup>[11]</sup>。但是根据表 3 的 HMX 动力学数据求出的反应速率常数  $k$ (见表 4)却表明, 随着温度快速

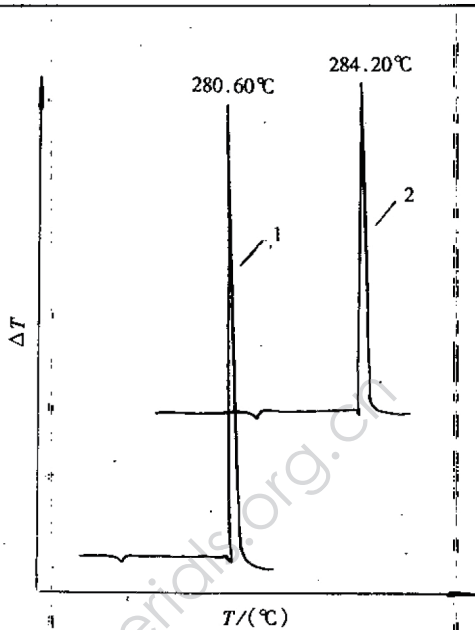


图 2 HMX 的 DTA 曲线( $\beta = 10^{\circ}\text{C}/\text{min}$ )

1—大晶粒( $500 \sim 600\mu\text{m}$ ); 2—细粉( $70 \sim 80\mu\text{m}$ )。

Fig. 2 DTA curves of HMX at heating rate of  $10^{\circ}\text{C}/\text{min}$

1—Large crystals( $500 \sim 600\mu\text{m}$ ), 2—Powder( $70 \sim 80\mu\text{m}$ )。

升高,出现了粗晶体反应速率加快的反常现象(HMX400℃时粗晶体的HMX分解反而快,其 $k$ 为细晶体HMX的 $10^{11}$ 倍,而100℃时则细晶体分解快, $k$ 值为粗晶体的 $10^{28}$ 倍)。这只能以晶体热迸裂现象予以解释。

表3 HMX及其与某些有机化合物机械混合后热分解的E值

Table 3 The values of  $E$  for the thermal decomposition of HMX and some mixtures

样 品	$E/(kJ \cdot mol^{-1})$	$lgA/(s^{-1})$
HMX(粗)	1128.0	107.2
HMX(细)	492.4	46.5
HMX(粗)-URT	848.0	80.7
HMX(粗)-TPBi	449.5	44.6
HMX(粗)-TPC	743.4	70.7
HMX(粗)-TPM	457.2	43.1
HMX(细)-TPM	613.8	57.8
HMX(细)-BIP	705.4	66.2

注: URT——氨基甲酸酯, TPBi——三苯基铋, TPC——三苯甲醇, TPM——三苯甲烷, BIP——联苯。

表4 HMX的反应速率常数

Table 4 The values of  $k$  for HMX  $s^{-1}$ 

样 品	温度/(℃)	
	100	400
粗 HMX	$1.86 \times 10^{-51}$	$4.29 \times 10^{19}$
细 HMX	$3.96 \times 10^{-23}$	$2.09 \times 10^8$

综上所述,可以认为不论是单一的HMX(粗颗粒还是粉末)还是其与有机物的混合物热分解时,在非密闭条件下都存在热迸裂现象,这与50年前Prout-Tompkins发现的 $NH_4MnO_4$ 的热分解性质类似。

对比 $(NH_4)_2Cr_2O_7$ 和HMX的热迸裂,可以认为前者比HMX的热迸裂更为强烈,只有用密封样品池才能研究其反应动力学,而HMX的迸裂激烈程度较低,用开口样品池也可以研究其分解动力学,不过其表观动力学参量变化较大。

#### 4 结 论

$(NH_4)_2Cr_2O_7$ 和HMX受热分解时,在敞开空间条件下均有热迸裂现象发生。这种热迸裂特性可能会使其具有某些应用价值。

#### 参 考 文 献

1 Prout E, Tompkins F. Trans Farady Soc., 1944; 40: 48

2 薛明. 卤化银-重铬酸盐明胶全息材料的光谱增感及增感剂的热分解[硕士论文]. 北京理工大学

- 学, 1988.
- 3 王秀双, 云主惠, 松全才. 化工通讯, 1981(2): 27~28
  - 4 Kissinger H E. Anal. Chem, 1957(29): 1702
  - 5 金韶华, 晁代涛, 松全才. 碳酸铵、草酸铵、硝酸铵、草酸的热分解(待发表).
  - 6 奥尔洛娃 E Yu. 奥克托今——热稳定炸药. 欧育湘译. 北京: 国防工业出版社, 1981.
  - 7 松全才, 王鹏. 含能材料学. 北京: 北京理工大学出版社, 1991.
  - 8 金韶华, 松全才. 含能材料, 1994, 2, (3): 36~39
  - 9 Gamer W E. Chemistry of the Solid State. London: Butter-Worth Sci. Publication, 1955.
  - 10 Boldiriev V V. Method for Investigation of Thermal Decomposition Kinetics of Solids. Tomsk: Press of Tomsk University, 1958.
  - 11 松全才. 高氯酸铵及其与某些有机混合物的热分解[技术科学副博士论文]. 莫斯科门捷列夫化工学院, 1961.

## THERMAL DECOMPOSITION OF AMMONIUM BICHROMATE AND HMX —A SUPPLEMENT TO PROUT-TOMPKINS EFFECT

Jin Shaohua Xue Ming Song Quancai

(College of Chemical Engineering and Materials, Beijing Institute of Technology, Beijing 100081)

**ABSTRACT** The thermal decomposition of ammonium bichromate $[(\text{NH}_4)_2\text{Cr}_2\text{O}_7]$  and cyclotetramethylenetetrinitramine (HMX) were experimentally studied. It was observed that this mixture decomposed with thermal splitting. The DTA curves show a quite steep appearance. This thermal splitting behavior makes their kinetic parameters of thermal decomposition anomalous compared with those of other materials.

**KEYWORDS** cyclotetramethylenetetrinitramine (HMX), DTA,  $(\text{NH}_4)_2\text{Cr}_2\text{O}_7$ , thermal decomposition.



**作者简介** 金韶华(Jin Shaohua), 1986年毕业于西北大学化学系, 1992年毕业于北京理工大学, 获硕士学位。现在北京理工大学化工与材料学院任教, 讲师, 从事火炸药性质研究。